

Abb. 1.1: Abweichung der beobachteten oberflächennahen Lufttemperatur im Monat März 2006 von den Mittelwerten der Periode 1961-1990 für den Monat März (Anomalie der Lufttemperatur) – Quelle: DWD)

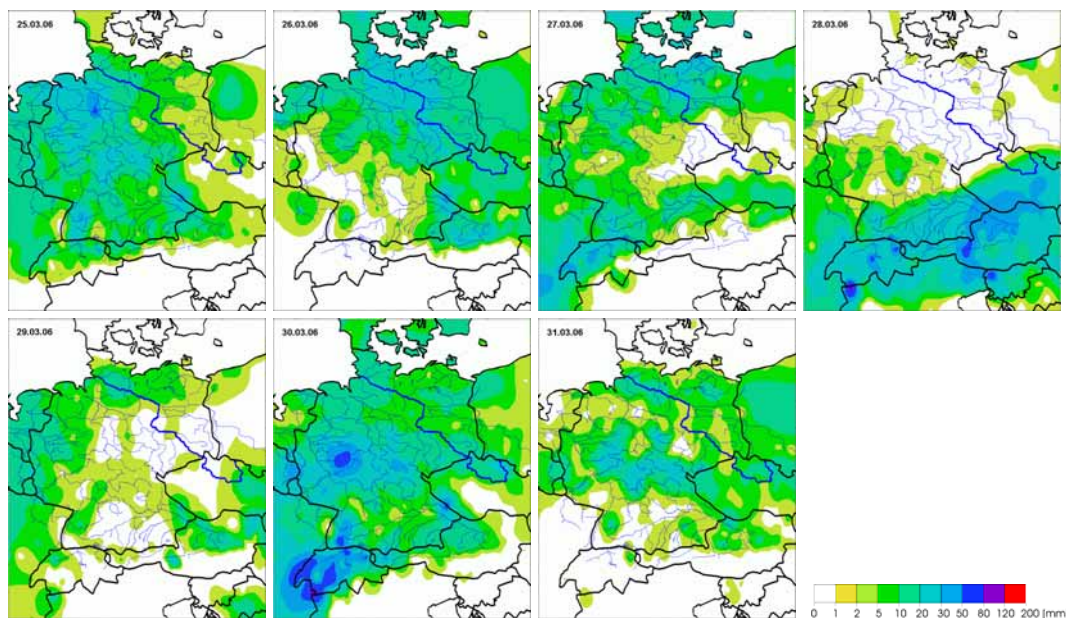
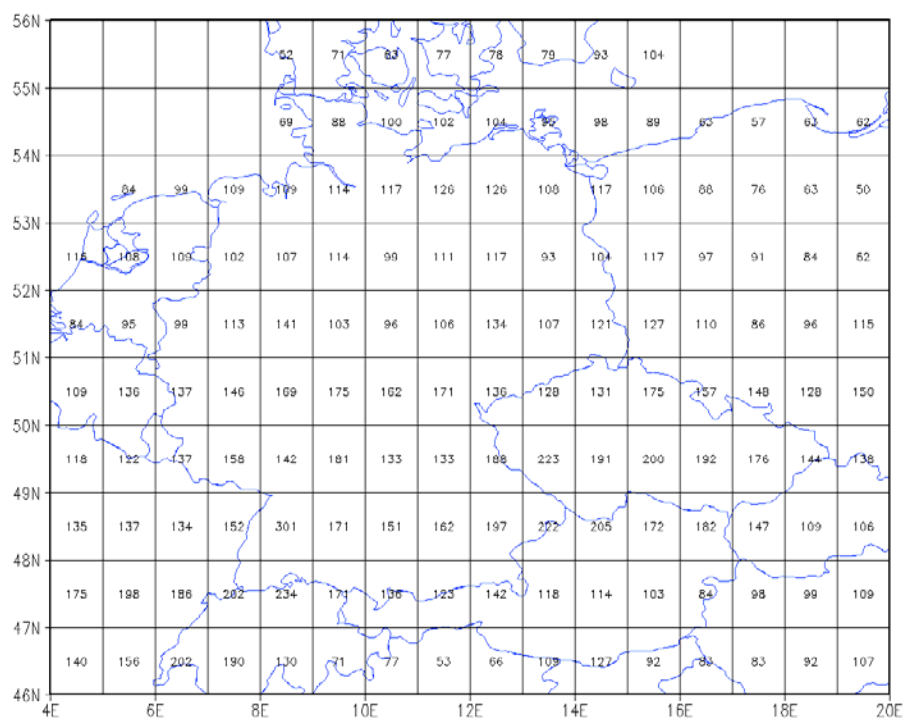


Abb. 1.2: Analysierte tägliche Niederschlagshöhen über Mitteleuropa vom 25.03. bis zum 31.03.2006 (Quelle: DWD)

GPCC Monitoring Product Gauge-Based Analysis 1.0 degree
precipitation percentage of normals 61/90 for March 2006
(grid based)



(c) GPCC 2006/6/29

Abb. 1.3: Niederschlagshöhe für den März 2006 in Prozent des langjährigen Märzmittels (Quelle: DWD)

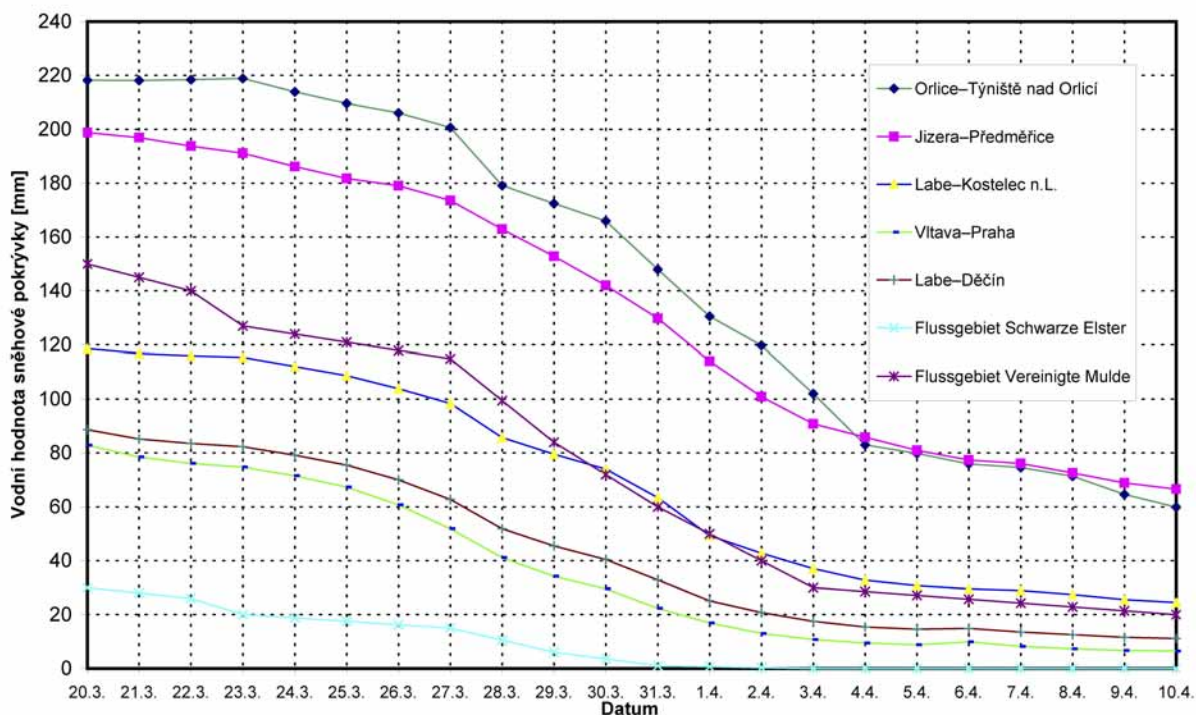


Abb. 1.4: Entwicklung des Wasseräquivalents der Schneedecke in den Einzugsgebieten ausgewählter Pegel (Quelle: DWD und ČHMÚ)

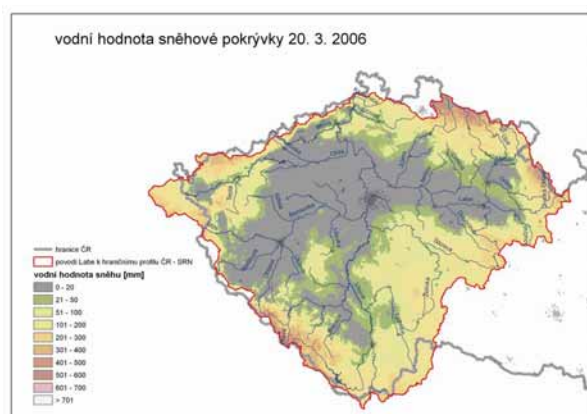


Abb. 1.5: Wasseräquivalent der Schneedecke am 20.03.2006

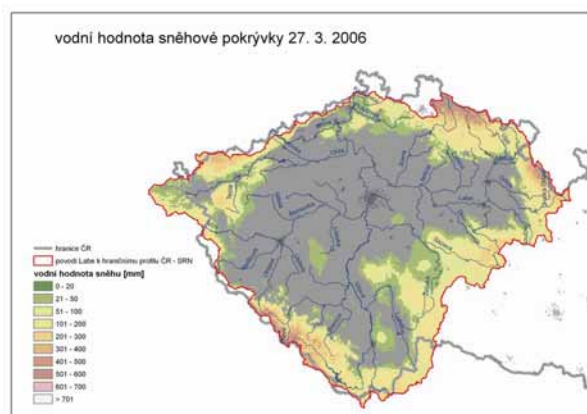


Abb. 1.6: Wasseräquivalent der Schneedecke am 27.03.2006

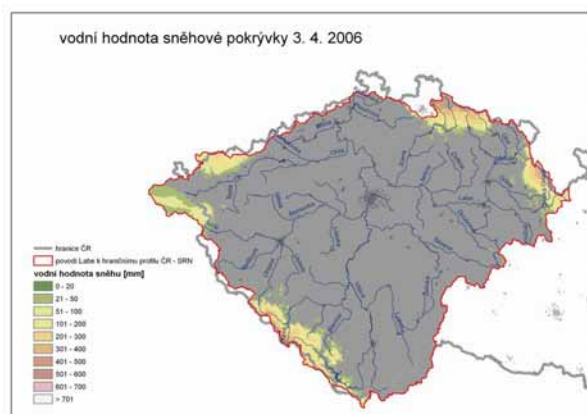


Abb. 1.7: Wasseräquivalent der Schneedecke am 03.04.2006

(Quelle: ČHMÚ)

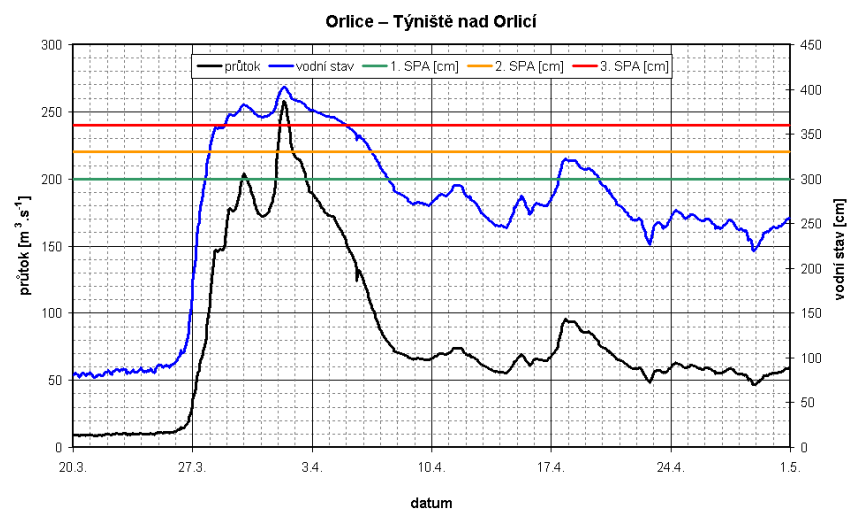


Abb. 2.1: Erreichung der Hochwasseralarmstufen sowie Abfluss- und Wasserstandsganglinie für die Orlice in Týniště nad Orlicí

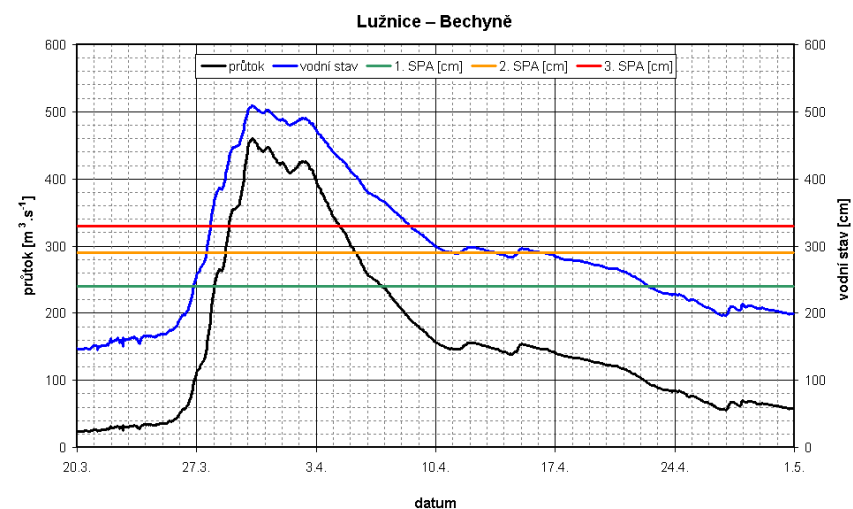


Abb. 2.2: Erreichung der Hochwasseralarmstufen sowie Abfluss- und Wasserstandsganglinie für die Lužnice in Bechyně

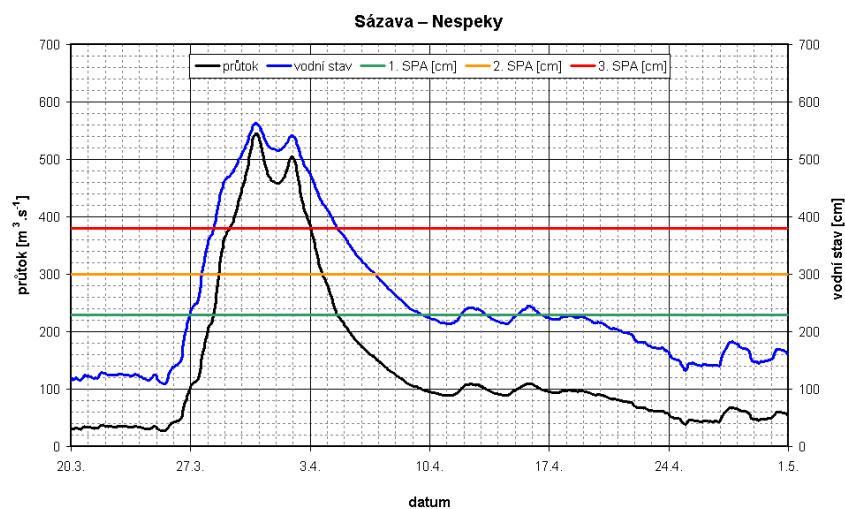


Abb. 2.3: Erreichung der Hochwasseralarmstufen sowie Abfluss- und Wasserstandsganglinie für die Sázava – Nespeky

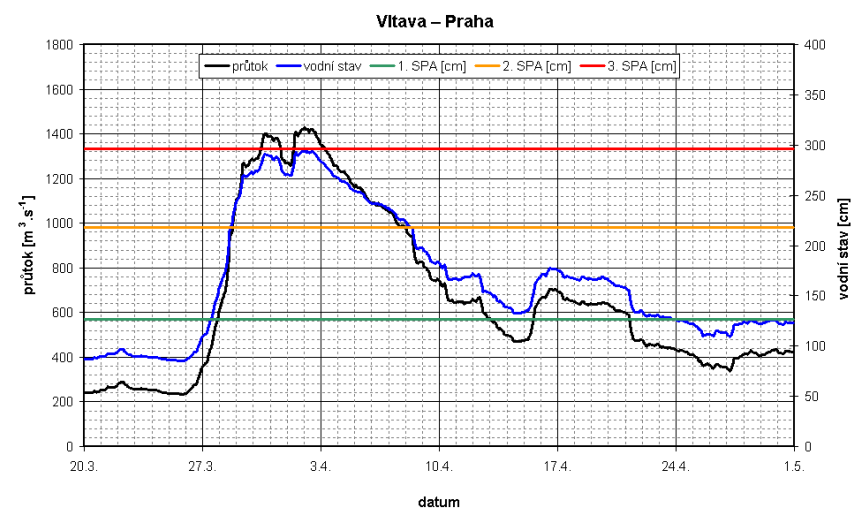


Abb. 2.4: Erreichung der Hochwasseralarmstufen sowie Abfluss- und Wasserstandsganglinie für die Vltava – Praha

Wasserstandsganglinie für die Sázava in Nespeky

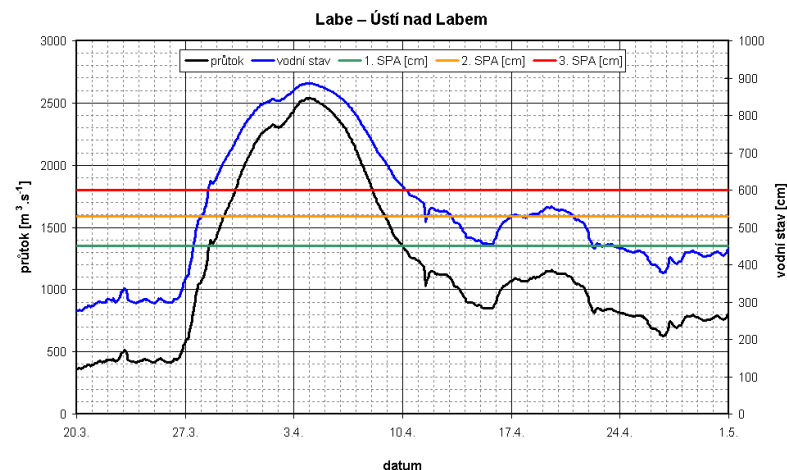


Abb. 2.5: Erreichung der Hochwasseralarmstufen sowie Abfluss- und Wasserstandsganglinie für die Elbe in Ústí nad Labem

Wasserstandsganglinie für die Moldau in Prag-Chuchle

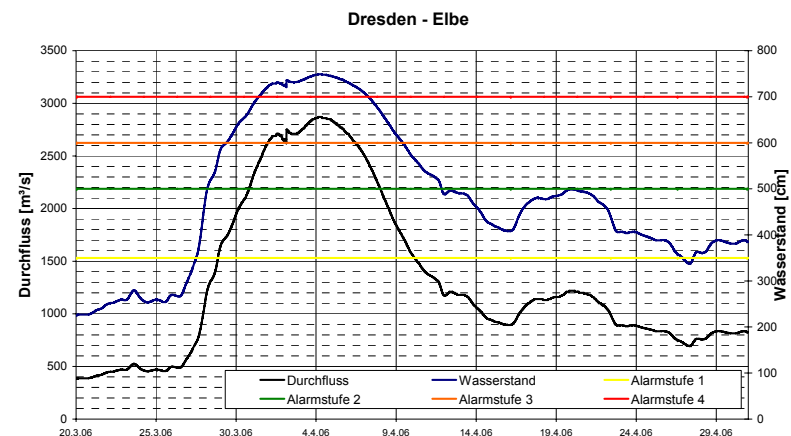


Abb. 2.6: Erreichung der Hochwasseralarmstufen sowie Abfluss- und Wasserstandsganglinie für die Elbe in Dresden

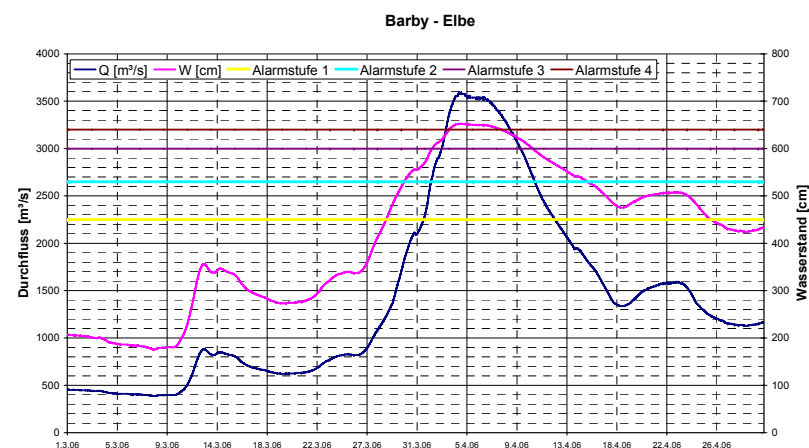


Abb. 2.7: Erreichung der Hochwasseralarmstufen sowie Abfluss- und Wasserstandsganglinie für die Elbe in Barby

* Die Hochwasseralarmstufen sind in cm Wasserstand dargestellt.

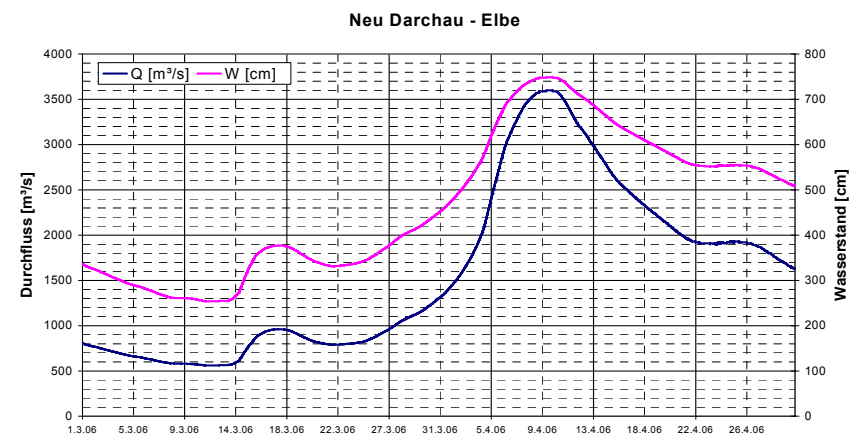


Abb. 2.8: Abfluss- und Wasserstandsganglinie für die Elbe in Neu Darchau

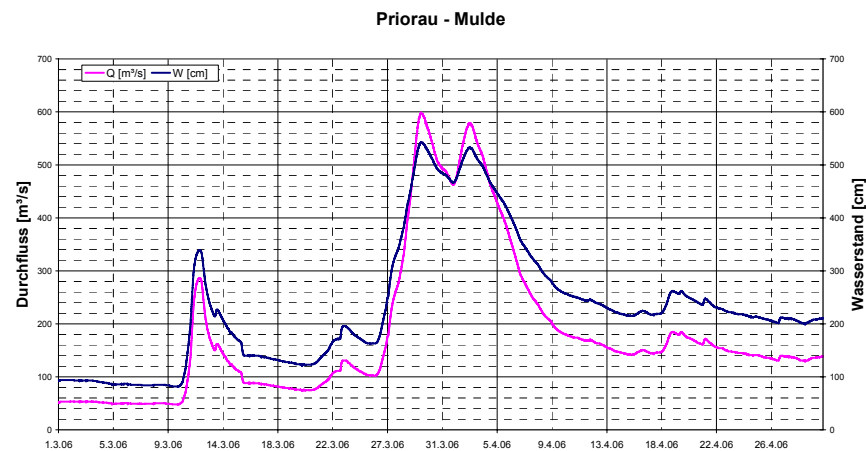


Abb. 2.9: Abfluss- und Wasserstandsganglinie für die Mulde in Priorau

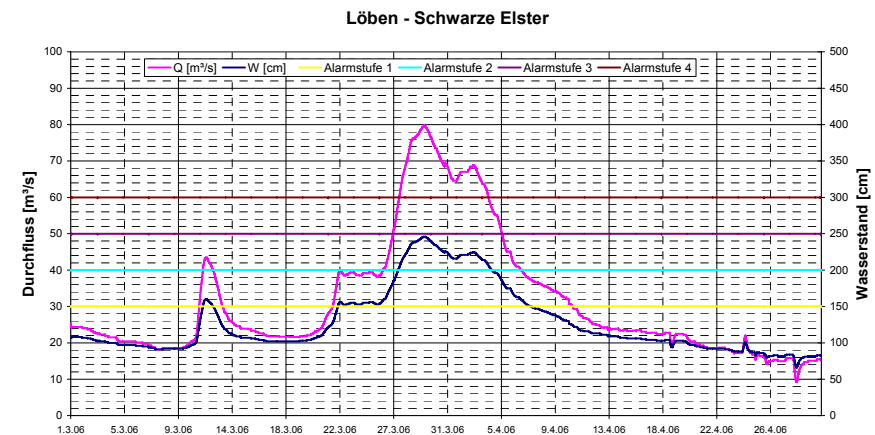


Abb. 2.10: Erreichung der Hochwasseralarmstufen sowie Abfluss- und Wasserstandsganglinie für die Schwarze Elster in Löben

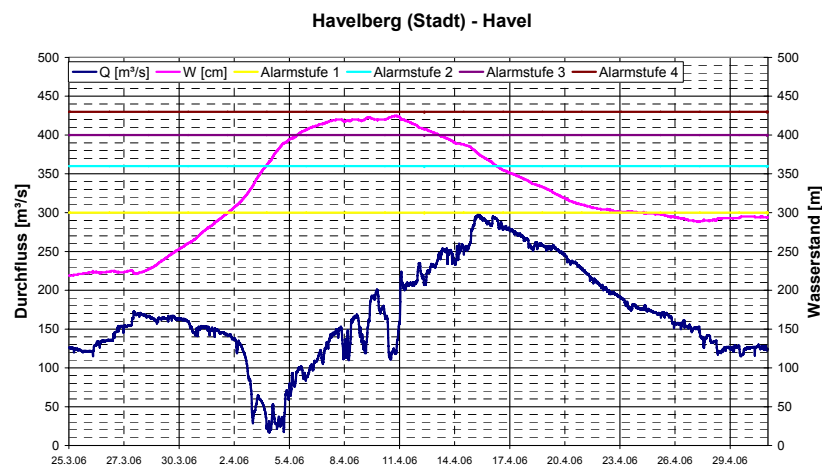


Abb. 2.11: Erreichung der Hochwasseralarmstufen sowie Abfluss- und Wasserstandsganglinie für die Havel in Havelberg

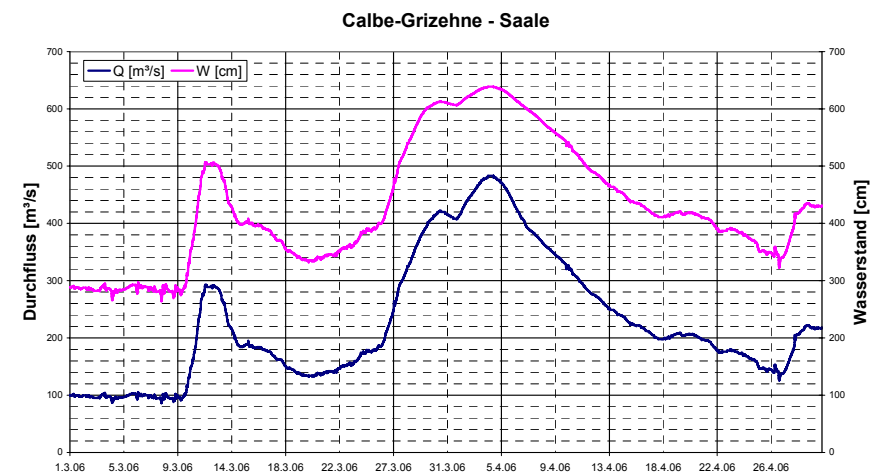


Abb. 2.12: Abfluss- und Wasserstandsganglinie für die Saale in Calbe-Grizethne

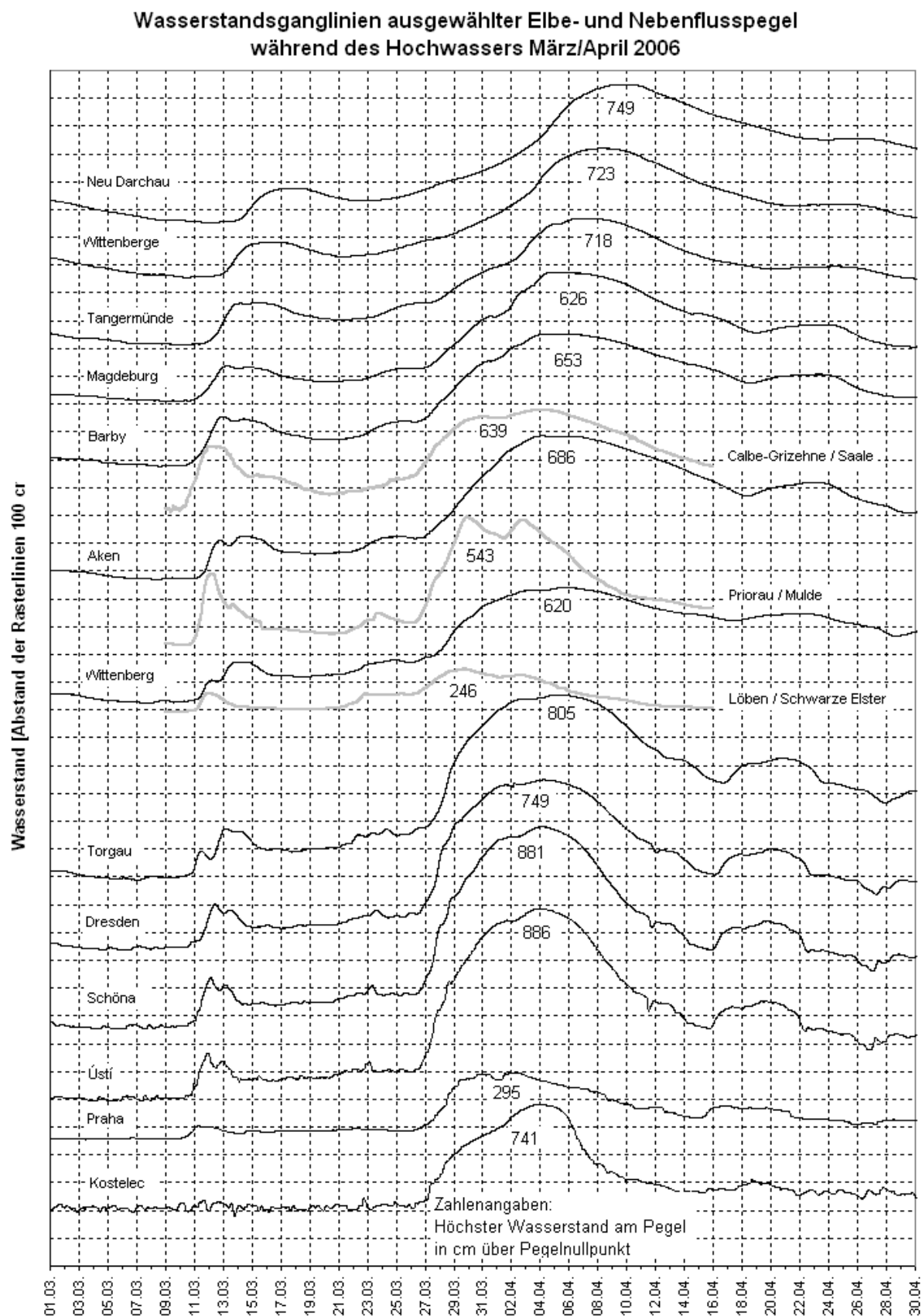
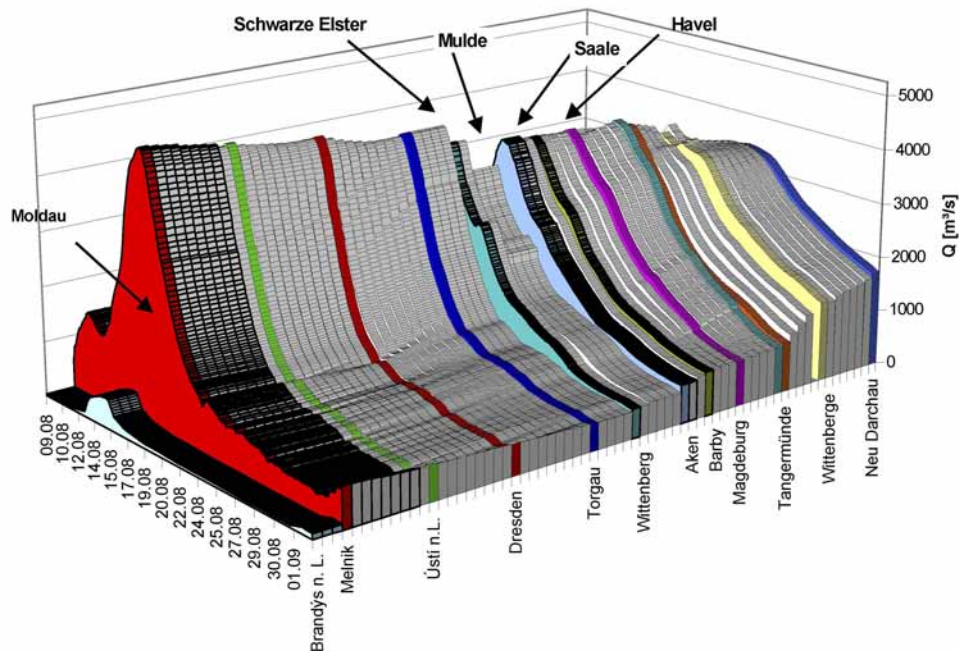


Abb. 2.13: Wasserstandsganglinien ausgewählter Elbe- und Nebenflusspegel während des Frühjahrshochwassers 2006

Hochwasser 2002



Hochwasser 2006

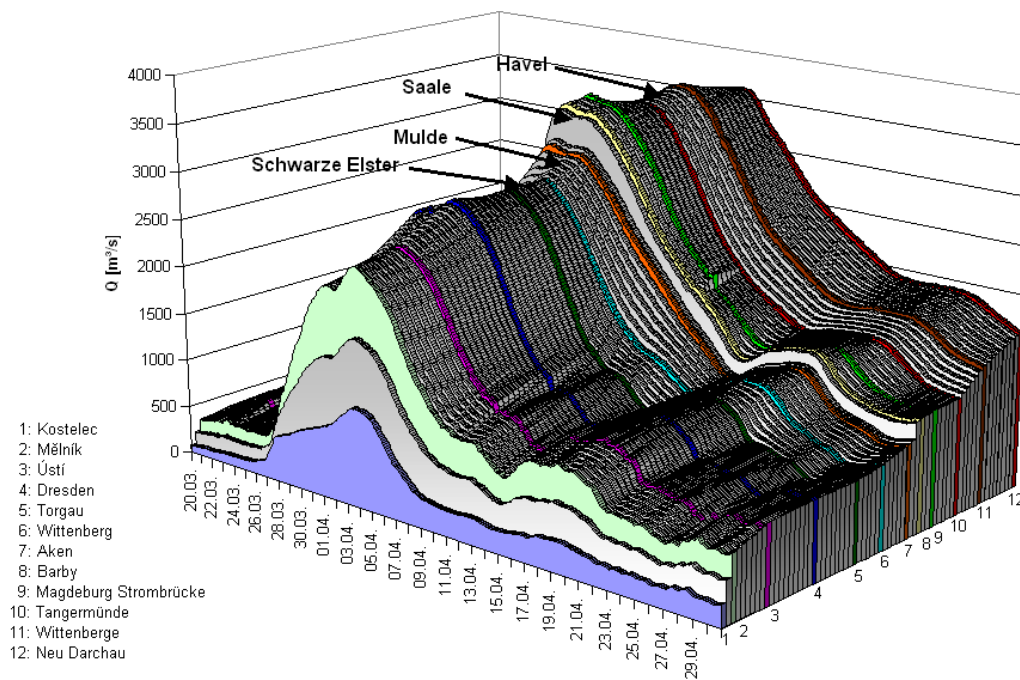


Abb. 2.14: Abflussganglinien der Elbe zwischen Brandýs n. L. und Neu Darchau

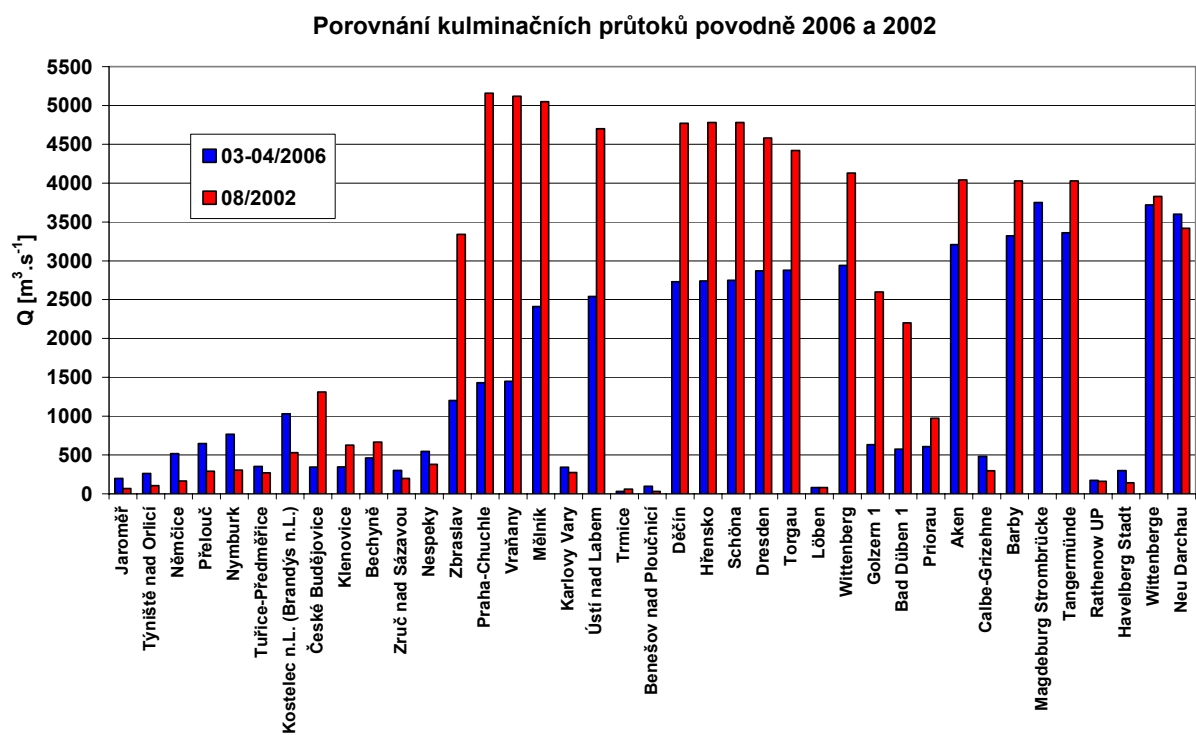


Abb. 3.1: Vergleich der Scheitelabflüsse für die Hochwasser 2006 und 2002 (Daten sind zu korrigieren)

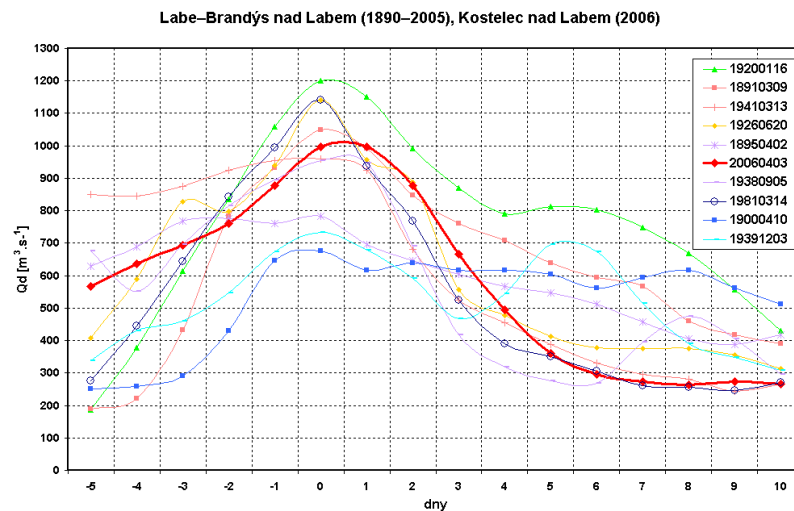


Abb. 3.2: Mittlere Tagesabflüsse für die im Hinblick auf die Fülle 10 größten Hochwasser an der Elbe in Brandýs (Kostelec) nad Labem

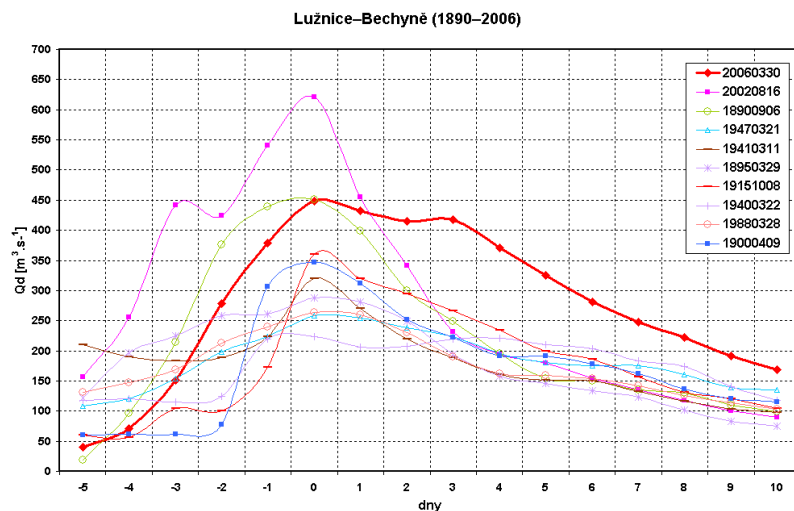


Abb. 3.3: Mittlere Tagesabflüsse für die im Hinblick auf die Fülle 10 größten Hochwasser an der Lužnice in Bechyně

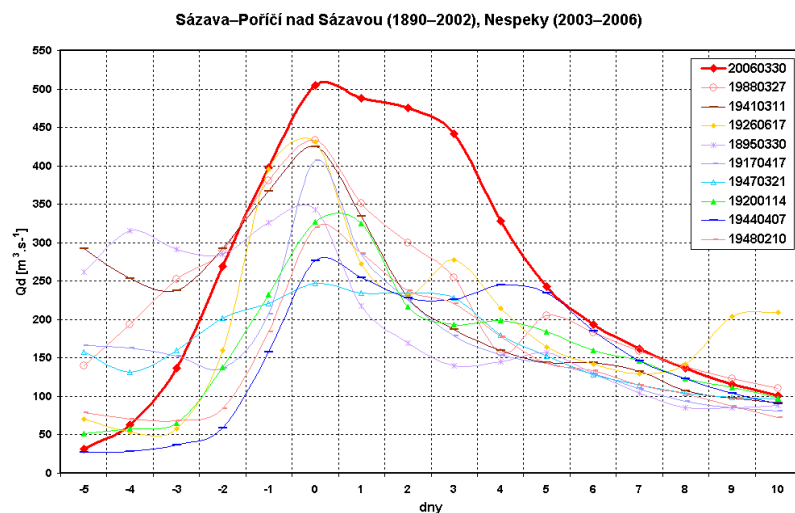


Abb. 3.4: Mittlere Tagesabflüsse für die im Hinblick auf die Fülle 10 größten Hochwasser an der Sázava in Poříčí nad Sázavou (Nespeky)

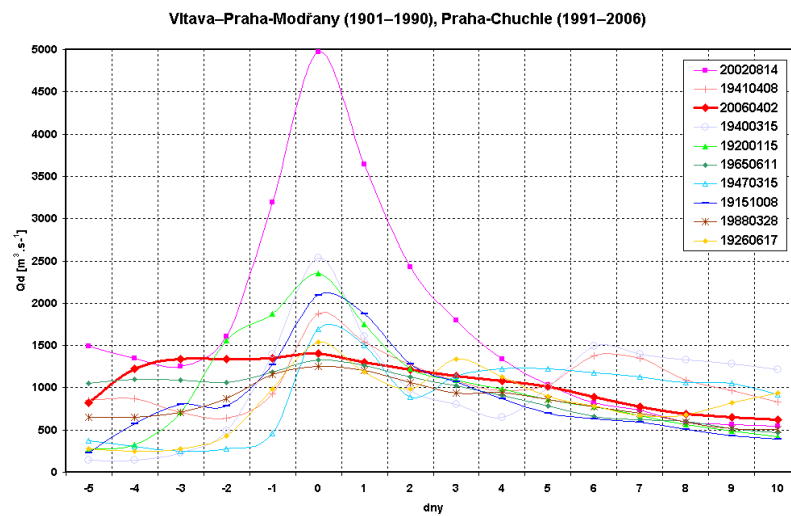


Abb. 3.5: Mittlere Tagesabflüsse für die im Hinblick auf die Fülle 10 größten Hochwasser an der Moldau in Modřany (Prag-Chuchle)

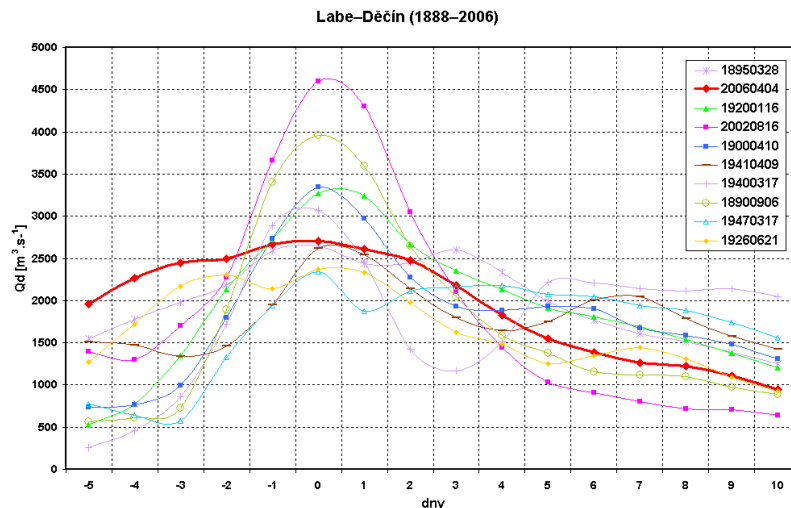


Abb. 3.6: Mittlere Tagesabflüsse für die im Hinblick auf die Fülle 10 größten Hochwasser an der Elbe in Děčín

Abb. 3.7: Mittlere Tagesabflüsse für die im Hinblick auf die Fülle 10 größten Hochwasser an der Elbe in Dresden (wird zurzeit bearbeitet)

Abb. 3.8: Mittlere Tagesabflüsse für die im Hinblick auf die Fülle 10 größten Hochwasser an der Elbe in Barby (wird zurzeit bearbeitet)

Abb. 3.9: Mittlere Tagesabflüsse für die im Hinblick auf die Fülle 10 größten Hochwasser an der Elbe in Neu Darchau (wird zurzeit bearbeitet)

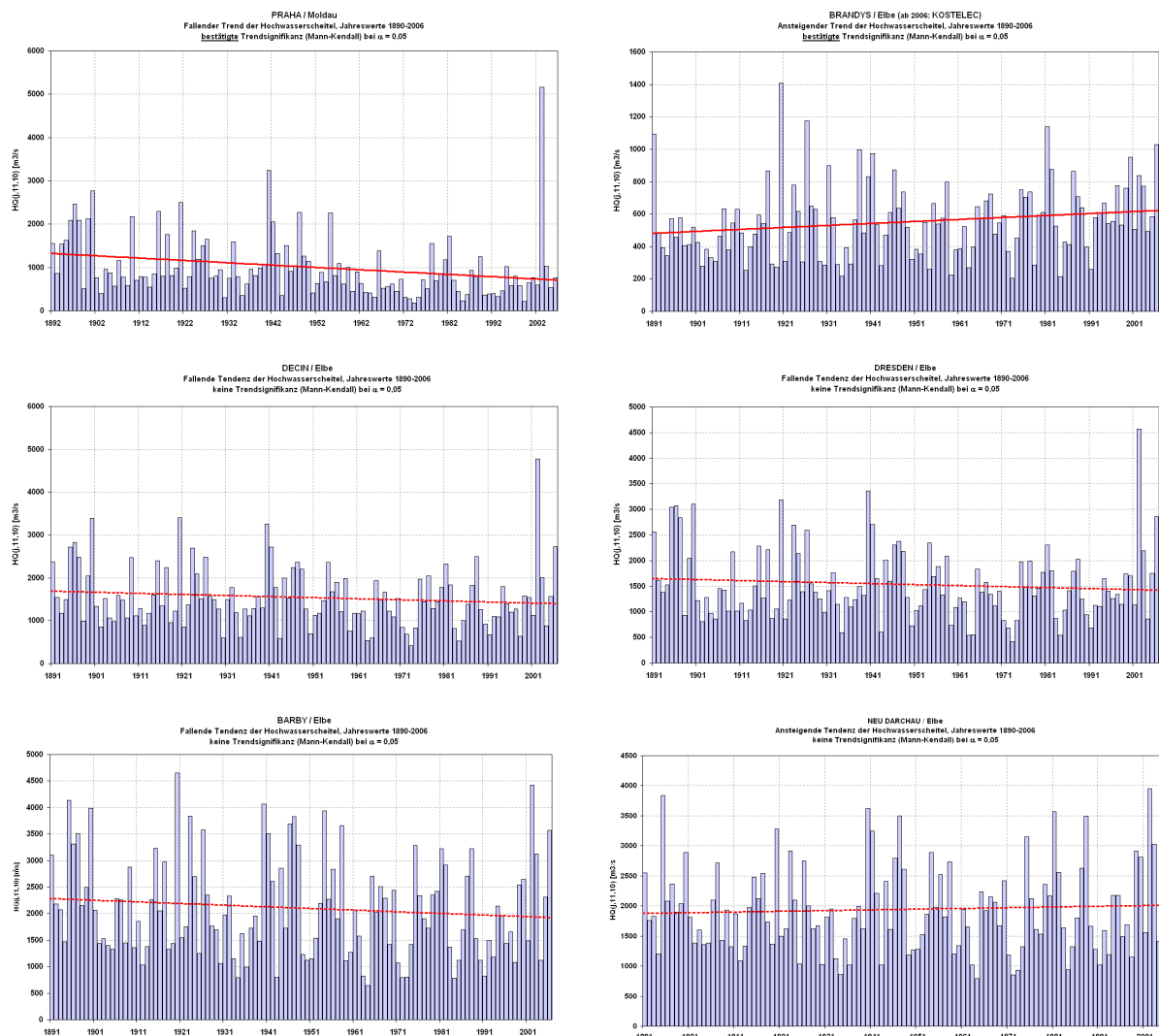


Abb. 3.10: Trendanalyse der Hochwasserscheitelabflüsse für die Jahresreihe 1890 – 2006 an ausgewählten Pegeln der Elbe